W bezpośredniem otoczeniu krawędzi otworu, to jest w odstępach małych w porównaniu z jego średnicą, hyperbole degenerują w parabole i ruch (33) okazuje się istotnie identycznym z ruchem badanym w § 9. Przeciwnie, dla bardzo wielkiej odległości od otworu otrzymujemy z równania Sampsona wzory dla trójwymiarowego wypływu ze źródła w ścianie płaskiej; wynik jest do pewnego stopnia analogiczny do § 8, gdyż ciecz tak samo jak tam wypływa w kierunku promieni wodzących z prędkością proporcjonalną do $\sin^2\theta$, ale odwrotnie proporcjonalną do kwadratu odległości r; rozkład ciśnienia jest określony przez wzór

$$p = \frac{c\mu}{r^3}\left(\frac{3y^2}{r^2} - 1\right). \tag{35}$$

XXXII. CONTRIBUTION À LA THÉORIE DU MOUVEMENT DES LIQUIDES VISQUEUX; EN PARTICULIER DES PROBLÈMES EN DEUX DIMENSIONS.

I. Conditions qui suffisent à la détermination du mouvement.

§ 1. D'après les recherches de Helmholtz, de Korteweg et de Lord Rayleigh[1]), les équations qui définissent le mouvement lent des liquides visqueux au cas du régime permanent, c'est-à-dire:

$$\begin{aligned} \frac{\partial p}{\partial x} &= \mu \nabla^2 u \\ \frac{\partial p}{\partial y} &= \mu \nabla^2 v \\ \frac{\partial p}{\partial z} &= \mu \nabla^2 w \end{aligned} \tag{1}$$

n'ont qu'une seule intégrale satisfaisant aux conditions de la continuité et à la condition d'après laquelle les vitesses u, v, w prennent des valeurs données à la surface de l'espace envisagé. Donc, si l'on a trouvé une telle solution, on sait que c'est la seule possible. Mais des difficultés se présentent lorsqu'on essaye, en s'appuyant sur ce théorème, de construire des mouvements qui correspondent aux problèmes fournis par l'expérience.

D'abord, il faut remarquer que les preuves du théorème en question reposent sur la supposition sous-entendue que l'espace S à la surface duquel les valeurs des vitesses sont données n'est pas in-

[1]) Helmholtz, Wissensch. Abh. I, p. 223. Korteweg, Phil. Mag. 16, p. 112 (1883), Rayleigh, Phil. Mag. 36, p. 354 (1894).

fini. Car elles exigent qu'une intégrale de la forme $\int F\,ds$ devienne zéro par suite de ce que la grandeur F y est égale à zéro; or ce raisonnement n'est pas applicable au cas d'une surface S infinie où $\lim\limits_{\infty} F = 0$. En effet, nous rencontrerons plus loin certains mouvements (§ 9, § 11) qui satisfont tous à la condition $\lim\limits_{\infty} u = \lim\limits_{\infty} v = \lim\limits_{\infty} w = 0$, tandis que la seule solution qui s'accorde avec l'immobilité du liquide aux parois d'un vaisseau de grandeur finie est l'état du repos. Ainsi le théorème en question n'est pas vrai dans ce cas.

§ 2. Remarquons d'ailleurs qu'on établit un régime permanent du mouvement, en pratique, en reliant un conduit donné à deux réservoirs où l'on maintient des pressions hydrostatiques différentes. L'expérience montre qu'alors le mouvement est défini, pour un conduit donné, par la différence de la pression exercée sur la surface du liquide dans les deux réservoirs et qu'il est indépendant de leur forme et de leurs dimensions, s'ils sont de grandeur suffisante. La question s'impose donc: ces conditions aux limites données par l'expérience définissent elles aussi le problème théorique? Dans quel cas suffira-t il, pour déterminer le mouvement théorique, d'indiquer les valeurs limites de la pression, au lieu de trois composantes de vitesse?

Il est évident que la connaissance de la pression n'est pas suffisante, en général; mais si S est fini, il suffit de connaître les trois tensions p_{xn}, p_{yn}, p_{zn}, exercées sur la surface S; c'est ce qui se vérifie aisément à l'aide de l'équation (2) qui va suivre.

§ 3. Dans le cas d'un espace infini, au contraire, on prouve une proposition qui explique les questions soulevées. Une distribution donnée des tensions p_{xn}, p_{yn}, p_{zn} (de grandeur finie), exercées à l'infini, ne peut produire, pour des parois données, qu'un seul mouvement „fini".

Les mouvements seront appelés „finis" dont les vitesses sont finies partout et, en outre, dont le flux total traversant la surface S (évalué d'après les valeurs absolues des vitesses) reste fini lorsque S s'étend à l'infini dans toutes les directions. C'est-à-dire:

$$\lim_{\infty} \int (v_n)\, dS = G.$$

Un cas spécial du mouvement fini, qui correspond aux exemples réalisables en pratique, est le mouvement qu'on pourrait appeler „diaphragramatique", c'est-à-dire dont les lignes de flux peuvent s'étendre jusqu'à l'infini, mais de telle sorte qu'aucune ne reste à une distance infinie dans toute son étendue. Car dans ce cas chaque tube de flux peut être coupé, à l'endroit où il se trouve à une distance finie, de telle maniére que la somme des coupes transversales $\Sigma\, q$ soit finie. Par conséquent, le flux qui les traverse $\Sigma\,(v)\,q = F$ sera fini; grâce à l'invariabilité du produit $v\,q$ le long d'un tube de flux: $\lim\limits_{\infty} \int (v_n)\, dS \leqq 2\,F$. S'il n'y a pas de lignes de flux fermées le signe d'égalité sera valable.

§ 4. Il est facile de démontrer qu'un mouvement fini ne peut pas prendre naissance si les tensions à l'infini sont zéro. Cela résulte de l'équation qui exprime l'égalité du travail exercé par les tensions sur la surface S et de l'énergie dissipée par suite de la viscosité:

$$\int\int [p_{xn}\, u + p_{yn}\, v + p_{zn}\, w]\, dS = \mu \int\int\int \Phi\, dx\, dy\, dz. \tag{2}$$

Cette équation, où Φ désigne la fonction de dissipation [1]):

$$\Phi = 2\left[\left(\frac{\partial u}{\partial x}\right)^2 + \left(\frac{\partial v}{\partial y}\right)^2 + \left(\frac{\partial w}{\partial z}\right)^2\right] + \left(\frac{\partial w}{\partial y} + \frac{\partial v}{\partial z}\right)^2 + \left(\frac{\partial u}{\partial z} + \frac{\partial w}{\partial x}\right)^2 + \left(\frac{\partial v}{\partial x} + \frac{\partial u}{\partial y}\right)^2\Bigg]$$

s'obtient [1]) par la substitution des valeurs:

$$\begin{aligned} p_{xn} &= p_{xx}\, l + p_{xy}\, m + p_{xz}\, n = p\, l - \\ &\quad - \mu\left[2\, l \frac{\partial u}{\partial x} + m\left(\frac{\partial v}{\partial x} + \frac{\partial u}{\partial y}\right) + n\left(\frac{\partial w}{\partial x} + \frac{\partial u}{\partial z}\right)\right] \end{aligned} \tag{3}$$

et par intégration partielle, en ayant égard aux équations (1).

L'intégrale double s'étend à la surface extérieure de S, aux parois immobiles et en général à toutes les surfaces où u, v, w ou leurs dérivées sont discontinues. Mais des surfaces de discontinuité ne peuvent exister, pour de simples raisons de mécanique, au sein du liquide; ce n'est que sur certaines lignes ou en certains points des parois, p. ex. sur des arêtes pointues, que de telles discontinuités sont admissibles. Dans ce cas doit être satisfaite la condition suivante: la valeur du travail produit par les pressions sur une surface qui enveloppe les endroits de discontinuité, se réduit

[1]) Voir p. ex. Lamb, Hydrodynamics p. 541 (1905).

à zéro lorsque cette surface se rétrécit à zéro, puisque la paroi immobile ne peut pas produire de travail. Nous ne considérons que de telles solutions des équations (1) qui satisfont à ces conditions de continuité, car elles seules peuvent avoir une signification physique.

La partie de l'intégrale double de l'équation (2) qui se rapporte aux parois immobiles ne contribue en rien à la valeur du travail. par suite de l'adhésion complète du liquide aux parois (c'est-à-dire de $u = v = w = 0$). Il n'y reste que ce qui provient des parties de la surface S situées au sein du liquide. La valeur absolue de cette intégrale sera moindre, évidemment, que le produit de la valeur G (définie au § 3) par les valeurs maxima des tensions $p_{xn} \ldots\ldots$ qui agissent en S. Mais celles-ci se réduisent à zéro, lorsque nous étendons S à l'infini, ce qui fait disparaître l'intégrale double. Par conséquent Φ sera zéro, ce qui exige qu'on ait partout $u = v = w = 0$.

Les mouvements lents (1) obéissent à la loi de superposition, par conséquent on peut suivre dans le raisonnement une voie bien connue: s'il y avait deux différents mouvements finis u, v, w, u', v', w' compatibles avec la même distribution des tensions p_{xn}, p_{yn}, p_{zn}, la différence $u - u'$, $v - v'$, $w - w'$ représenterait un mouvement produit par des tensions zéro; mais nous venons de démontrer que dans ce cas cette différence ne peut être que zéro. La proposition concernant la détermination du mouvement à l'aide des trois tensions agissant à l'infini est donc démontrée.

§ 5. Considérons l'état du mouvement à l'infini. On prouve aisément que le vaisseau dans lequel le mouvement a lieu ne peut pas avoir une section d'aire finie à l'infini, si un mouvement fini y est produit par des pressions finies agissant à l'infini.

Construisons d'abord une sphère de rayon R autour de l'origine des coordonnées, afin de préciser ce que nous appelons „section"; ce sera la partie de sa surface qui y est découpée par l'intersection avec les parois du vaisseau. Imaginons que cette section $\lim\limits_{\infty} S$ soit finie. Dans ce cas il faut distinguer: ou les vitesses à l'infini sont infiniment petites et, par conséquent, le travail accompli par les tensions est nul ce qui entraîne, d'après (2), que Φ soit zéro partout, donc $u = v = w = 0$; ou ces vitesses, et par conséquent aussi la valeur du travail, y sont finies; mais ceci serait en contradiction avec le fait que Φ par suite des valeurs finies des dérivées $\frac{\partial u}{\partial x}$ etc. n'est

zéro nulle part, donc $\int\int\int \Phi\, dv$ serait infini; d'où résulte la nécessité d'une section $\lim\limits_{\infty} S$ infinie. Par conséquent, il faut (afin que le mouvement soit „fini") que les vitesses soient infiniment petites à l'infini, comme $\frac{1}{R^2}$ dans les cas de trois dimensions, comme $\frac{1}{R}$ dans le cas de deux dimensions (avec exception possible de certains points singuliers). De même les dérivées $\frac{\partial u}{\partial x} \ldots$ y seront nulles, en général, ce qui résulte aussi de ce que $\int\int\int \Phi\, dv$ doit être fini. D'où l'on conclut d'après (3) que:

$$\lim_{\infty} p_{xy} = \lim_{\infty} p_{xz} = \lim_{\infty} p_{yz} = 0; \quad \lim_{\infty} p_{xx} = \lim_{\infty} p_{yy} = \lim_{\infty} p_{zz} = 0.$$

Il suffit en général pour la détermination complète des mouvements finis qui s'étendent à l'infini (problème correspondant aux phénomènes de pratique) de fixer la distribution d'une quantité seulement: de la pression p qui subsiste à l'infini. Cela explique les questions soulevées au § 2.

Mouvement en deux dimensions.

§ 6. Les mouvements en deux dimensions des liquides parfaits ont été examinés par un nombre de mathématiciens; mais on s'est occupé très peu, au contraire, de pareils mouvements dans le cas de liquides visqueux, quoiqu'ils fussent plus intéressants au point de vue physique. Le mouvement des liquides entre des plateaux parallèles, le mouvement rotatoire des liquides entre des cylindres à axe commun et certains mouvements à l'intérieur d'un cercle, étudiés par Lord Rayleigh[1]) à l'aide de la méthode des „sources and sinks" sont, à ce qu'il paraît, les seuls exemples d'un régime permanent connus Il me semble par conséquent que les exemples de pareils mouvements exposés plus loin ne sont pas dénués d'un certain intérêt, surtout puisqu'ils peuvent être considérés comme les types les plus simples d'un mouvement s'étendant à l'infini.

Nous établirons d'abord une certaine forme de la solution générale des équations (1) dans le cas mentionné. Celles-ci peuvent s'écrire par suite de l'incompressibilité du liquide:

$$(4) \qquad \frac{1}{\mu}\frac{\partial p}{\partial x} = -\frac{\partial \zeta}{\partial y}; \quad \frac{1}{\mu}\frac{\partial p}{\partial y} = \frac{\partial \zeta}{\partial x}$$

[1]) Phil. Mag. 36, p. 354 (1893).

où ζ, qui désigne la double vitesse de rotation $\zeta = \frac{\partial v}{\partial x} - \frac{\partial u}{\partial y}$, doit satisfaire à l'équation:

$$\frac{\partial^2 \zeta}{\partial x^2} + \frac{\partial^2 \zeta}{\partial y^2} = 0. \tag{5}$$

Les lignes de pression égale et de tourbillonnement égal forment donc un système orthogonal:

$$\zeta + i\frac{p}{\mu} = f(x + iy).$$

Avec une p tirée de cette relation pour une f donnée on pourrait intégrer les équations (1) en se servant de méthodes analogues à celles de la théorie du potentiel. Mais la solution se présente sous une forme beaucoup plus commode lorsqu'on introduit la fonction de flux ψ, à l'aide des relations:

$$u = -\frac{\partial \psi}{\partial y}, \quad v = \frac{\partial \psi}{\partial x} \tag{6}$$

et les variables indépendantes: $\alpha = x + iy$, $\beta = x - iy$.

Il en résulte:

$$\frac{\partial \psi}{\partial x} = \frac{\partial \psi}{\partial \alpha} + \frac{\partial \psi}{\partial \beta}; \quad \frac{\partial \psi}{\partial y} = i\left(\frac{\partial \psi}{\partial \alpha} - \frac{\partial \psi}{\partial \beta}\right); \quad \zeta = \frac{\partial^2 \psi}{\partial x^2} + \frac{\partial^2 \psi}{\partial y^2} = 4\frac{\partial^2 \psi}{\partial \alpha \partial \beta}. \tag{7}$$

La fonction φ doit satisfaire à l'équation qui se déduit de (5):

$$\frac{\partial^4 \psi}{\partial \alpha^2 \partial \beta^2} = 0 \tag{8}$$

dont la solution générale est:

$$\psi = \alpha f_1(\beta) + \beta f_2(\alpha) + f_3(\alpha) + f_4(\beta). \tag{9}$$

Comme $\zeta = 4[f_1'(\beta) + f_2'(\alpha)]$ doit être réel, ces solutions appartiennent à l'une des deux classes (f désignant une fonction réelle):

$$\begin{aligned} &\text{A)}\ \psi = \alpha f(\beta) + \beta f(\alpha) && \text{B)}\ \psi = \frac{1}{i}\left[\alpha f(\beta) - \beta f(\alpha)\right] \\ &\zeta = 4[f'(\alpha) + f'(\beta)] && \zeta = 4\frac{f'(\beta) - f'(\alpha)}{i} \\ &p = 4\mu\frac{f'(\alpha) - f'(\beta)}{i} && p = 4\mu[f'(\alpha) + f'(\beta)] \end{aligned} \tag{10}$$

ou elles résultent de la superposition de deux fonctions semblables et en outre, d'un mouvement potentiel ordinaire correspondant aux termes f_3, f_4:

$$\text{C)}\ \psi = g(\alpha) + g(\beta) \quad \text{ou} \quad \text{D)}\ \psi = \frac{g(\alpha) - g(\beta)}{i}. \tag{11}$$

Comme paroi du vaisseau nous pouvons considérer les surfaces où $u = v = 0$ dont l'équation peut être mise sous la forme

$$u^2 + v^2 = 4\frac{\partial \psi}{\partial \alpha}\frac{\partial \psi}{\beta} = 0. \tag{12}$$

Mais nous ne savons pas trouver la solution qui corresponde à une certaine forme donnée des parois; et il n'est même pas certain si de telles solutions existent toujours pour des parois de forme arbitraire. Nous savons seulement qu'en général les fonctions f, g n'ont pas de points singuliers dans l'espace rempli par le liquide si le mouvement est fini; ceux-ci sont situés dans l'espace occupé par les parois ou au delà des parois.

§ 7. Nous étudierons en détail le cas le plus simple, celui d'une paroi plane: $y = 0$. Adoptons d'abord la forme (10 B) avec le mouvement potentiel corespondant (11 D), d'où résultent les expressions suivantes:

$$\begin{aligned} u &= \alpha f'(\beta) + \beta f'(\alpha) - f(\alpha) - f(\beta) - g'(\alpha) - g'(\beta) \\ v &= \frac{1}{i}\left[\alpha f'(\beta) - \beta f'(\alpha) + f(\beta) - f(\alpha) + g'(\alpha) - g'(\beta)\right]. \end{aligned} \tag{13}$$

En substituant $u = v = 0$ pour les valeurs $\alpha = \beta$ (c'est-à-dire $y = 0$) on parvient à la relation:

$$g'(\alpha) = \alpha f'(\alpha) - f(\alpha);$$

les équations (13) deviennent

$$\begin{aligned} u &= (\beta - \alpha)\left[f'(\alpha) - f'(\beta)\right] \\ v &= \frac{1}{i}\left[2(f(\beta) - f(\alpha)) + (\alpha - \beta)(f'(\alpha) + f'(\beta))\right]. \end{aligned} \tag{14}$$

On obtiendra un mouvement compatible avec la condition du repos à la paroi $y = 0$ en substituant une fonction quelconque monodrome; mais ces mouvements qui n'appartiennent pas, en général, à la classe des mouvements finis sont peu intéressants.

Adoptons la forme:

$$-f(\alpha) = \frac{1}{4}\sqrt{\alpha^2 - c^2} = \frac{1}{4}\sqrt{(\alpha + c)(\alpha - c)} = \frac{1}{4}\sqrt{r_1 r_2}\, e^{i\frac{\theta_1 + \theta_2}{2}} \tag{15}$$

où r_1, r_2, θ_1, θ_2 désignent les rayons entre les points $\pm c$ et le point α et les angles enfermés avec l'axe X, tandis que r, θ désignent, dans ce qui suit, les valeurs analogues par rapport au point O. Cette fonction n'est pas monodrome, mais en la substituant dans (14) on remarque que les vitesses:

$$(16)\qquad \begin{aligned} u &= -\frac{r^2}{\sqrt{r_1 r_2}} \sin\theta \sin\left(\theta - \frac{\theta_1+\theta_2}{2}\right) \\ v &= \frac{r^2}{\sqrt{r_1 r_2}} \cos\theta \sin\left(\theta - \frac{\theta_1+\theta_2}{2}\right) + \frac{c^2}{\sqrt{r_1 r_2}} \sin\frac{\theta_1+\theta_2}{2} \end{aligned}$$

s'évanouissent pour $\theta_1 = \theta = \theta_2 = 0$ et pour $\theta_1 = \theta = \theta_2 = \pi$, c'est-à-dire pour les parties de l'axe des X situées entre $x = +1$, $x = \infty$ et entre $x = -1$ et $x = -\infty$. Par conséquent on peut adopter ces parties comme des parois infranchissables, ce qui rend la fonction f monodrome.

Les équations (10) nous donnent la valeur du tourbillonnement:

$$(17)\qquad \zeta = \frac{1}{i}\left\{\frac{\alpha}{\sqrt{\alpha^2 - c^2}} - \frac{\beta}{\sqrt{\beta^2 - c^2}}\right\} = \frac{2r}{\sqrt{r_1 r_2}} \sin\left(\theta - \frac{\theta_1+\theta_2}{2}\right)$$

et de la pression (comme fonction adjointe):

$$(18)\qquad p = -\mu \frac{2r}{\sqrt{r_1 r_2}} \cos\left(\theta - \frac{\theta_1+\theta_2}{2}\right).$$

A des distances infinies on a $\lim\limits_{\infty}\left(\theta - \frac{\theta_1+\theta_2}{2}\right) = 0$ pour les y positifs, $\lim\limits_{\infty}\left(\theta - \frac{\theta_1+\theta_2}{2}\right) = \pi$ pour les y négatifs et, par conséquent, $\lim\limits_{\infty} \zeta = 0$; $\lim\limits_{+\infty} p = -2\mu$ ou $\lim\limits_{-\infty} p = +2\mu$ pour les parties correspondantes de l'espace. La différence de pression des deux côtés de la paroi, différence qui produit le mouvement, est de 4μ unités; pour des valeurs différentes il ne faudrait qu'augmenter toutes les vitesses dans la même proportion. La vitesse entre les points $\pm c$ est $v = \sqrt{c^2 - x^2}$, et la quantité totale du liquide qui passe par cette ouverture est la suivante:

$$(19)\qquad F = 2\int_0^c \sqrt{c^2 - x^2}\, dx = \frac{c^2\pi}{2}$$

ou, en fonction de la pression Δp active; $F = \frac{c^2\pi}{8\mu}\Delta p$.

C'est là un mouvement fini et c'est le seul qui corresponde à une différence donnée de pression des deux côtés. Les lignes de flux qui représentent l'écoulement sont tracées dans la fig. 1 pour

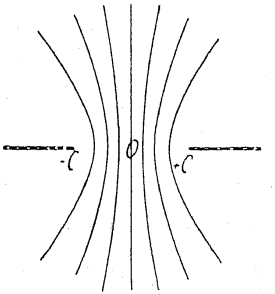

Fig. 1.

des valeurs équidistantes de ψ. On obtient ψ en partant des équations (10, 11) et en introduisant les valeurs f, g:

$$\psi = r\sqrt{r_1 r_2}\, \sin\left(\theta - \frac{\theta_1+\theta_2}{2}\right) + c^2 \operatorname{arc\,tg} \frac{r\sin\theta + \sqrt{r_1 r_2}\sin\frac{\theta_1+\theta}{2}}{r\cos\theta + \sqrt{r_1 r_2}\cos\frac{\theta_1+\theta}{2}}$$

§ 8. Il faut encore compléter cette analyse en examinant l'état du mouvement à l'infini et dans le voisinage immédiat des points $\pm c$. Pour une distance r très grande on a:

$$(20)\qquad \lim\left[\theta - \frac{\theta_1+\theta_2}{2}\right] = \lim\left\{-\frac{c^2}{2}\,\frac{\frac{\theta_1-\theta}{c} - \frac{\theta-\theta_2}{c}}{c}\right\} = -\frac{c^2}{2}\frac{\partial^2\theta}{\partial x^2} = -\frac{c^2\sin\theta\cos\theta}{r^2}.$$

Comme ceci est une quantité très petite, on tire de (16):

$$(21)\qquad \begin{aligned} \lim u &= \frac{c^2\sin^2\theta\cos\theta}{r} = \frac{c^2 x y^2}{r^4} \\ \lim v &= \frac{c^2\sin^3\theta}{r} = \frac{c^2 y^3}{r^4}. \end{aligned}$$

A une distance considérable de l'ouverture le liquide est animé d'une vitesse radiale:

$$V = \frac{c^2}{r} \sin^2 \theta.$$

Ces équations (21) peuvent être considérées comme la définition d'un écoulement par une ouverture très petite (de largeur $2c$) percée dans une paroi $y = 0$; elles coïncident avec la solution obtenue par Lord Rayleigh pour l'écoulement d'une source située sur la périphérie d'un cercle (équation 22′ loc. cit.), dans le voisinage immédiat de cette source.

La même solution s'obtient directement de (14) en y posant $f(\alpha) = \frac{c^2}{8\alpha}$, mais cette méthode n'indique pas le mouvement du liquide au point singulier $r = 0$. On déduit les relations

$$\psi = \frac{c^2}{4}(2\theta - \sin 2\theta)$$

$$(22) \qquad \zeta = -c^2 \frac{\sin 2\theta}{r^2}$$

$$p = -c^2 \frac{\cos 2\theta}{r^2}$$

qui résultent aussi des équations (17, 18) à l'aide du développement:

$$(23) \qquad \lim \log \frac{r}{\sqrt{r_1 r_2}} = -\frac{c^2}{2} \frac{\partial^2 (\log r)}{\partial x^2} = -\frac{c^2}{2} \frac{1 - 2\cos^2\theta}{r^2}.$$

Pour une distribution donnée de sources et de déversoirs sur la paroi $y = 0$ le mouvement résultant, compatible avec la condition du repos sur le reste de cette paroi, s'obtiendrait par sommation (ou par intégration) d'expressions (21) multipliées par des constantes.

§ 9. Afin d'examiner l'état du mouvement au voisinage immédiat de points $\pm c$, développons la fonction (16) en nous servant des relations:

$$r \sin\theta = r_1 \sin\theta_1; \qquad r\cos\theta = c + r_1 \cos\theta_1,$$

ce qui donne, en négligeant les termes d'ordre supérieur:

$$(24) \qquad u = \sqrt{2c}\sqrt{r_1}\sin^2\frac{\theta_1}{2}\cos\frac{\theta_1}{2}$$

$$v = \sqrt{2c}\sqrt{r_1}\sin^3\frac{\theta_1}{2}.$$

On voit que les vitesses aux arêtes pointues sont égales à zéro et non infinies, comme l'on pourrait le supposer à première vue d'après (16); c'est ce qui arriverait dans un liquide parfait. C'est là un résultat important, contraire à la théorie de Helmholtz concernant la formation des jets d'efflux dans les liquides [1]).

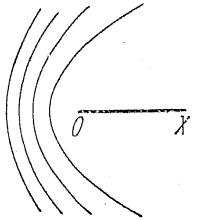

Fig. 2.

La même équation (24) résulte des formules générales (14) par substitution de: $f(\alpha) = -\frac{1}{4}\sqrt{2c\alpha}$. Elle représente le passage d'un liquide infini autour d'une arête pointue, fig. (2); les lignes de flux qui résultent de (10, 11) sont des paraboles confocales avec le point $+c$:

$$(25) \qquad \psi = -\tfrac{2}{3}\sqrt{2c}\left[\sqrt{r}\sin\frac{\theta}{2}\right]^3.$$

Les mêmes équations fournissent les valeurs:

$$(26) \qquad \zeta = -\frac{\sqrt{2c}}{\sqrt{r}}\sin\frac{\theta}{2}; \quad p = -\mu\frac{\sqrt{2c}}{\sqrt{r}}\cos\frac{\theta}{2}.$$

Ces fonctions sont indéfinies au point c, elles disparaissent à l'infini.

§ 10. Les exemples des §§ 7, 8, 9 nous donnent l'occasion de montrer qu'il y a d'autres mouvements compatibles avec les mêmes données aux limites, c'est-à-dire avec les mêmes parois et la même distribution de la pression à l'infini, mais qu'il n'existe qu'un seul mouvement fini, à savoir le mouvement (16).

Adoptons la forme (10 A) avec superposition d'un mouvement

[1]) Helmholtz, Wissensch. Abh. I, p. 116; Smoluchowski, Bull. Acad. Sc. de Cracovie, 1904. p. 371.

correspondant (11 C) et procédons de la même manière qu'au § 7. Nous trouvons:

$$(27)\qquad \begin{aligned} u &= i\{2[f(\alpha)-f(\beta)+(\alpha-\beta)[f'(\alpha)+f'(\beta)]\} \\ v &= (\beta-\alpha)[f'(\alpha)-f'(\beta)] \end{aligned}$$

ce qui remplit les conditions $u=v=0$ à la paroi $y=0$ pour des fonctions monodromes.

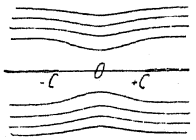

Fig. 3.

La substitution de $f=\frac{1}{4}\sqrt{\alpha^2-c^2}$ donne:

$$u=-\frac{r^2}{\sqrt{r_1 r_2}}\sin\theta\cos\left(\theta-\frac{\theta_1+\theta_2}{2}\right)-\sqrt{r_1 r_2}\sin\frac{\theta_1+\theta_2}{2}$$

$$v=\frac{r^2}{\sqrt{r_1 r_2}}\sin\theta\sin\left(\theta-\frac{\theta_1+\theta_2}{2}\right)$$

$$p=2\mu\frac{r}{\sqrt{r_1 r_2}}\sin\left(\theta-\frac{\theta_1+\theta_2}{2}\right);\quad \zeta=2\frac{r}{\sqrt{r_1 r_2}}\cos\left(\theta-\frac{\theta_1+\theta_2}{2}\right)$$

$$\psi=r\sqrt{r_1 r_2}\sin\theta\sin\frac{\theta_1+\theta_2}{2}.$$

Ce mouvement satisfait à la condition $\lim\limits_{\infty} p=0$, on pourrait par conséquent le superposer à (16) sans changement de la pression à l'infini, mais il appartient à la classe des mouvements infinis, puisque $\lim u=-2y$. Il correspond au passage du liquide le long d'une paroi percée d'une ouverture (fig. 3).

§ 11. Examinons l'état du mouvement au voisinage du point $\alpha=+c$, comme au § 9; nous obtenons:

$$(29)\qquad u=-\sqrt{r}\sin\frac{\theta}{2}\left(1+\cos^2\frac{\theta}{2}\right)\qquad v=-\sqrt{r}\sin^2\frac{\theta}{2}\cos\frac{\theta}{2}$$

$$p=-\frac{\mu}{\sqrt{r}}\sin\frac{\theta}{2}\qquad \zeta=\frac{1}{\sqrt{r}}\cos\frac{\theta}{2}$$

$$\psi=2\sqrt{r^3}\sin^2\frac{\theta}{2}\cos\frac{\theta}{2}$$

c'est ce qu'on peut déduire directement de (27) par la substitution $f(\alpha)=\frac{1}{4}\sqrt{\alpha}$. Ces expressions représentent le passage tangentiel du liquide le long d'une arête pointue, fig. 4.

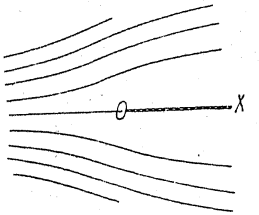

Fig. 4.

En superposant cette solution à (24) après les avoir multipliées par des coefficients constants, on obtient des équations qui représentent le passage auprès d'une arête pointue, avec des composan-

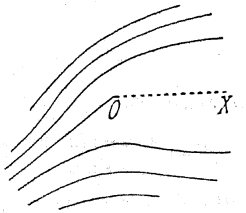

Fig. 5.

tes données, normale et tangentielle. Ainsi la fig. 5 représente le mouvement défini par

$$(30)\qquad \psi=2\sqrt{r^3}\sin^2\frac{\theta}{2}\left[\frac{1}{3}\sin\frac{\theta}{2}+\cos\frac{\theta}{2}\right]$$

dont les lignes de flux pour des x négatifs croissants approchent graduellement d'une inclinaison de $\theta=2\operatorname{arctg}(-3)=217^0$.

§ 12. L'état du mouvement à de grandes distances résulte de l'emploi des mêmes développements qu'au § 8. Si nous omettons les termes: $u=-2y$; $v=0$ qui définissent un mouvement potentiel qui ne nous intéresse pas, nous arrivons aux équations:

$$(31) \qquad u = \frac{c^2}{2r} \sin 2\theta \cos\theta \qquad v = \frac{c^2}{2r} \sin 2\theta \sin\theta$$

$$p = \frac{c^2\mu}{r^2} \sin 2\theta \qquad \zeta = -\frac{c^2}{r^2} \cos 2\theta$$

qui s'obtiennent aussi de (27) par la substitution $f(\alpha) = \frac{c^2}{8\alpha}$.

Elles représentent un mouvement dans l'étendue d'un demi-plan, causé par l'existence d'un courant tangentiel élémentaire dans O. D'autre part, ce mouvement peut être regardé comme efflux d'une source $\frac{c^2}{2}$ au point O dans l'espace entre les parois perpendiculaires X, Y.

En superposant [1]) cette solution à (21) on obtient l'efflux d'une source dans l'espace entre des parois enfermant l'angle $\alpha = \operatorname{arctg} a$, où $\alpha < \frac{\pi}{2}$:

$$(32) \qquad u = \frac{\sin\theta\cos\theta}{r}\left[\cos\theta - a\sin\theta\right]$$

$$v = \frac{\sin^2\theta}{r}\left[\cos\theta - a\sin\theta\right].$$

La vitesse résultante radiale est

$$V = \frac{\sin\theta\sin(\alpha-\theta)}{r\sin\alpha}.$$

Le mouvement (31), de même que (21), est contenu, comme forme limite, parmi les mouvements examinés par Lord Rayleigh; il résulte de l'équation (33′) loc. cit. lorsque le rayon du cercle qui contient le liquide s'étend à l'infini.

Il est intéressant de comparer les mouvements (16), (24) aux mouvements correspondants à symétrie axiale qui ont été étudiés par M. Sampson [2]). Cet auteur a démontré qu'auprès d'une paroi

[1]) La condition de la continuité des vitesses donne naissance à la règle suivante: on peut superposer toujours des mouvements correspondant à la même forme des parois. Des mouvements à différentes formes des parois peuvent aussi être superposés, mais seulement dans le cas où l'espace occupé par le liquide dans son mouvement résultant ne contient pas d'endroits où se trouveraient les parois d'un des mouvements composants.

[2]) Phil. Trans. Vol. 182, p. 449.

plane infinie à ouverture circulaire un mouvement peut naître dont les lignes de flux (dans la coupe axiale) sont des hyperboles coaxiales. La fonction de flux est:

$$(33) \qquad \psi = \frac{Vc^2q^3}{3}$$

où c désigne le rayon de l'ouverture, V la vitesse au milieu, q la coordonnée hyperbolique du point x, y c'est-à-dire la racine hyperbolique de l'équation en λ:

$$(34) \qquad \frac{x^2}{1-\lambda^2} - \frac{y^2}{\lambda^2} = c^2.$$

Dans le voisinage immédiat des bords de l'ouverture, c'est-à-dire à des distances petites par rapport au diamètre de celle-ci, les hyperboles dégénèrent en paraboles et le mouvement (33) coïncide avec le mouvement étudié au § 9. Pour de grandes distances de l'ouverture, au contraire, l'équation de M. Sampson donne des formules qui représentent un écoulement à trois dimensions d'une source dans une paroi plane; le résultat est analogue, en quelque sorte, à celui du § 8, puisque la vitesse du liquide y est aussi radiale et proportionnelle à $\sin^2\theta$; la différence consiste en ce qu'elle change en raison inverse du carré de la distance r; la distribution de la pression est déterminée par la formule:

$$(35) \qquad p = \frac{c\mu}{r^3}\left(\frac{3y^2}{r^2} - 1\right).$$